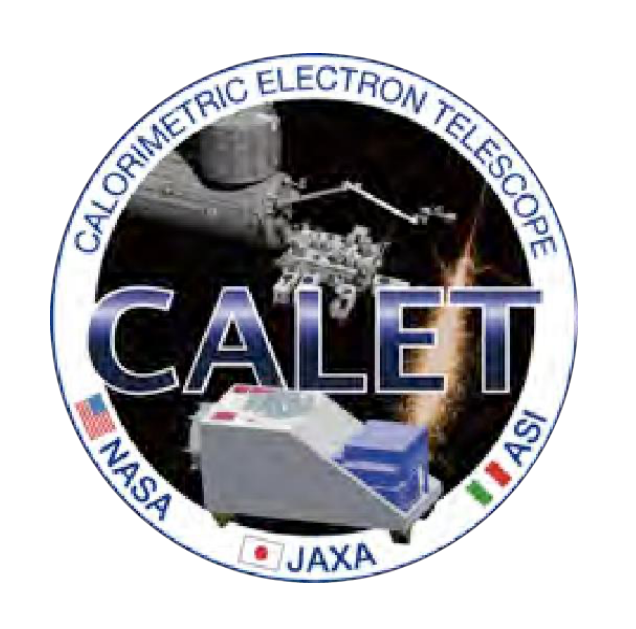
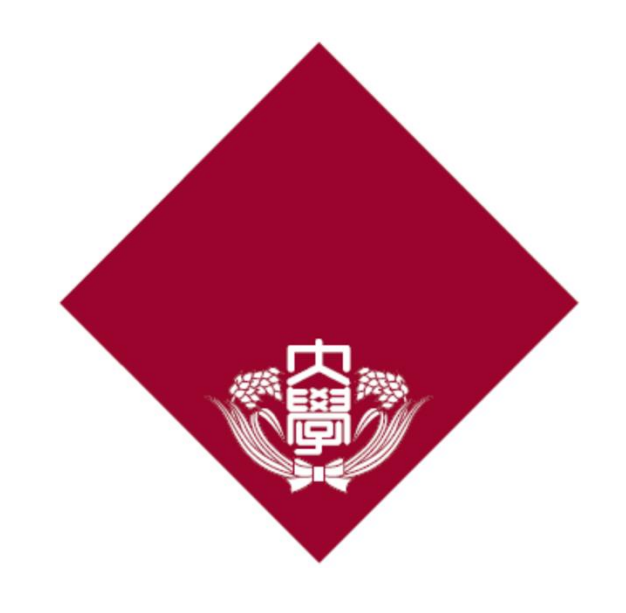
CALETによる重原子核の高精度観測



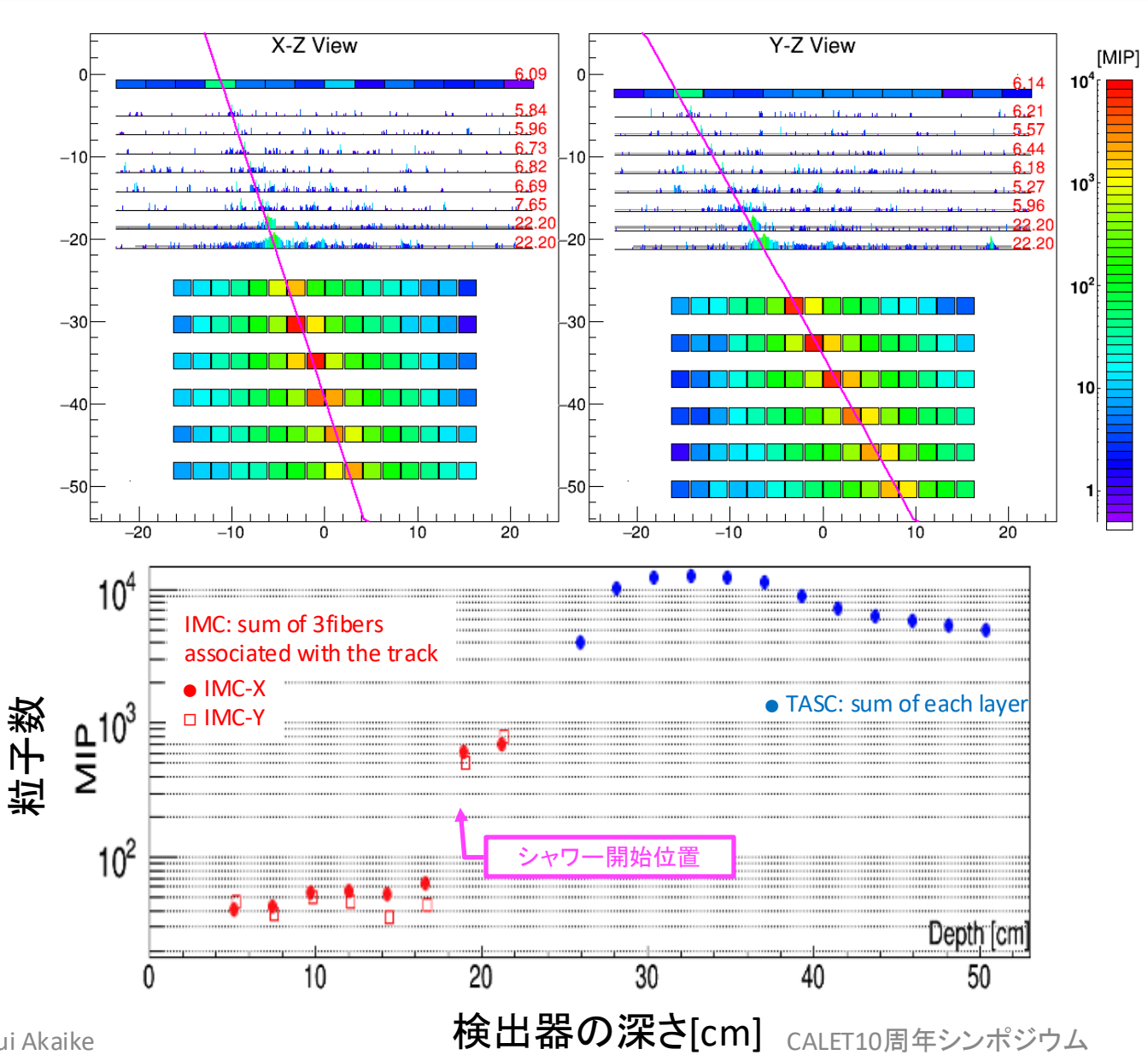
早稲田大学理工学術院総合研究所

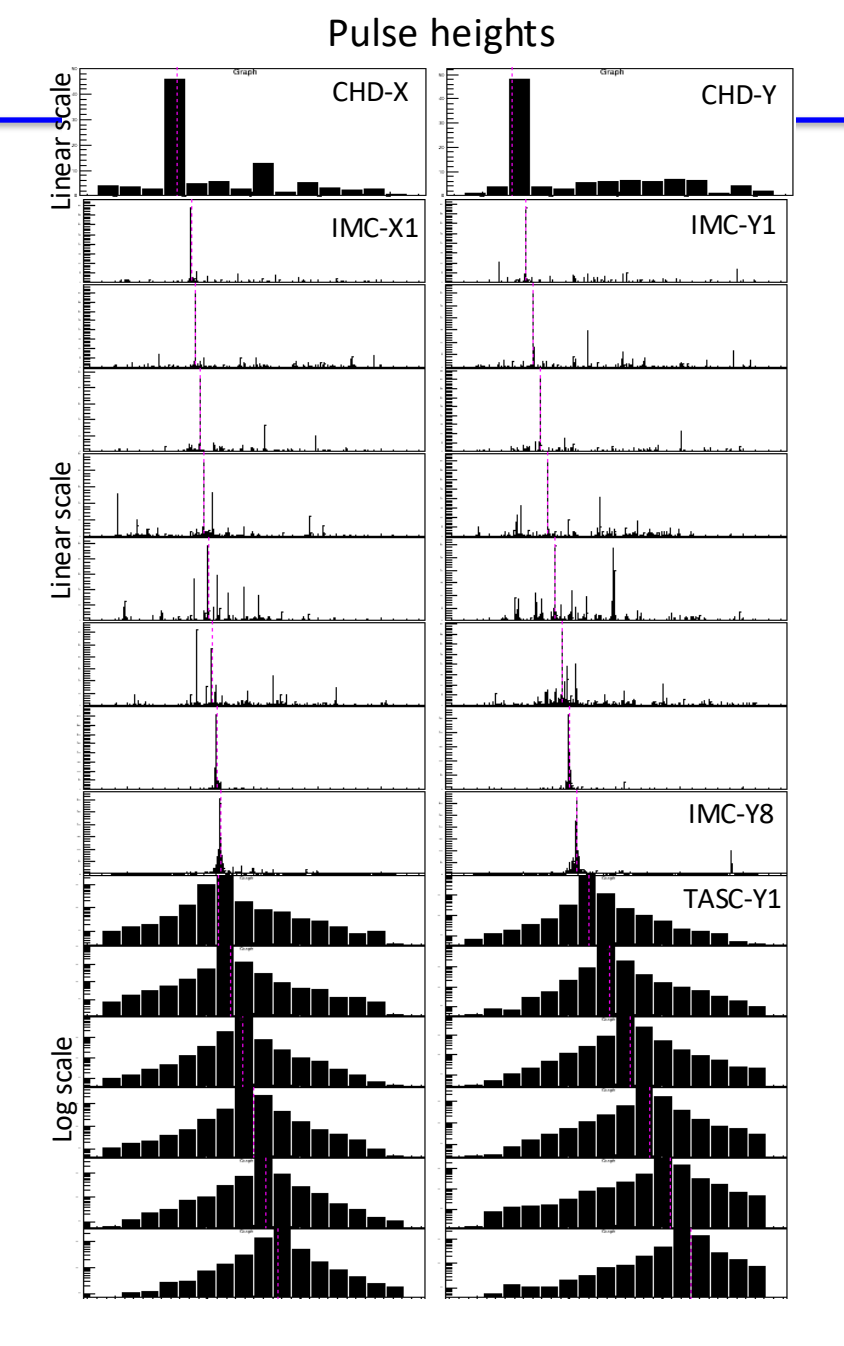
赤池陽水

(早稲田大学鳥居研究室2011年度博士卒)



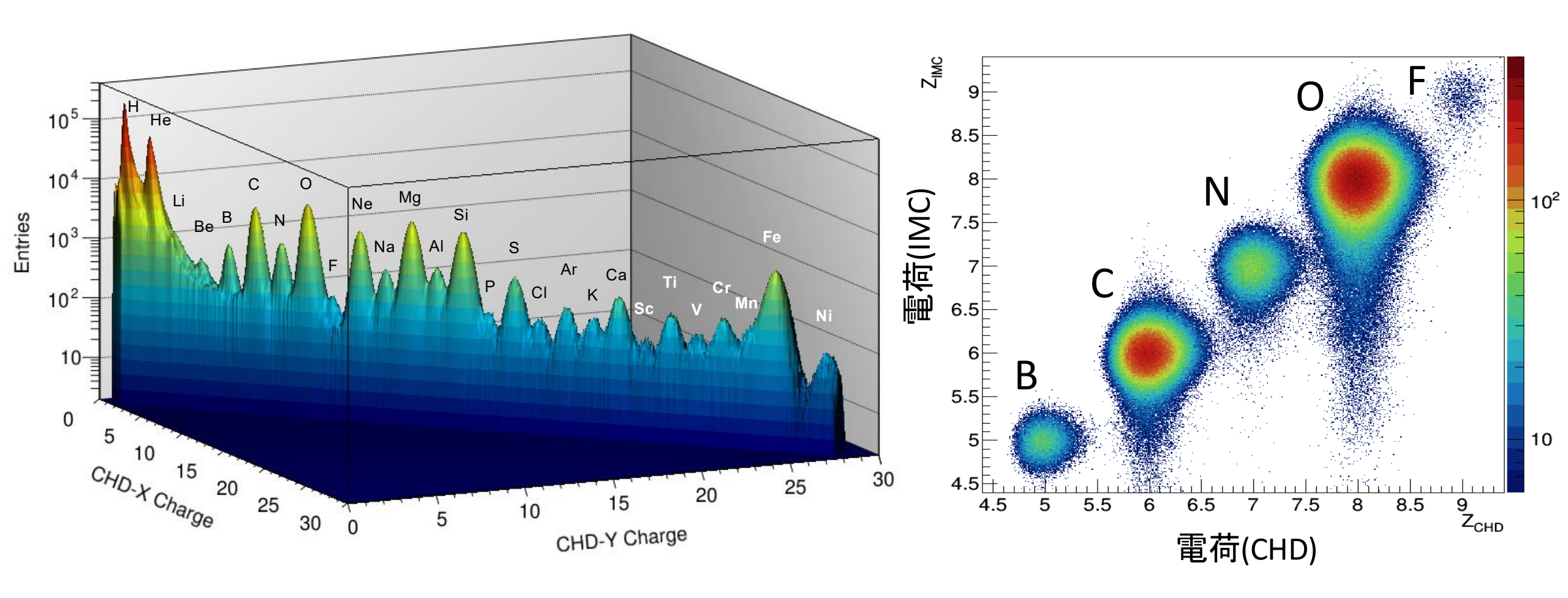
原子核観測例: 炭素ΔE_{TASC}=2TeV





電荷測定性能

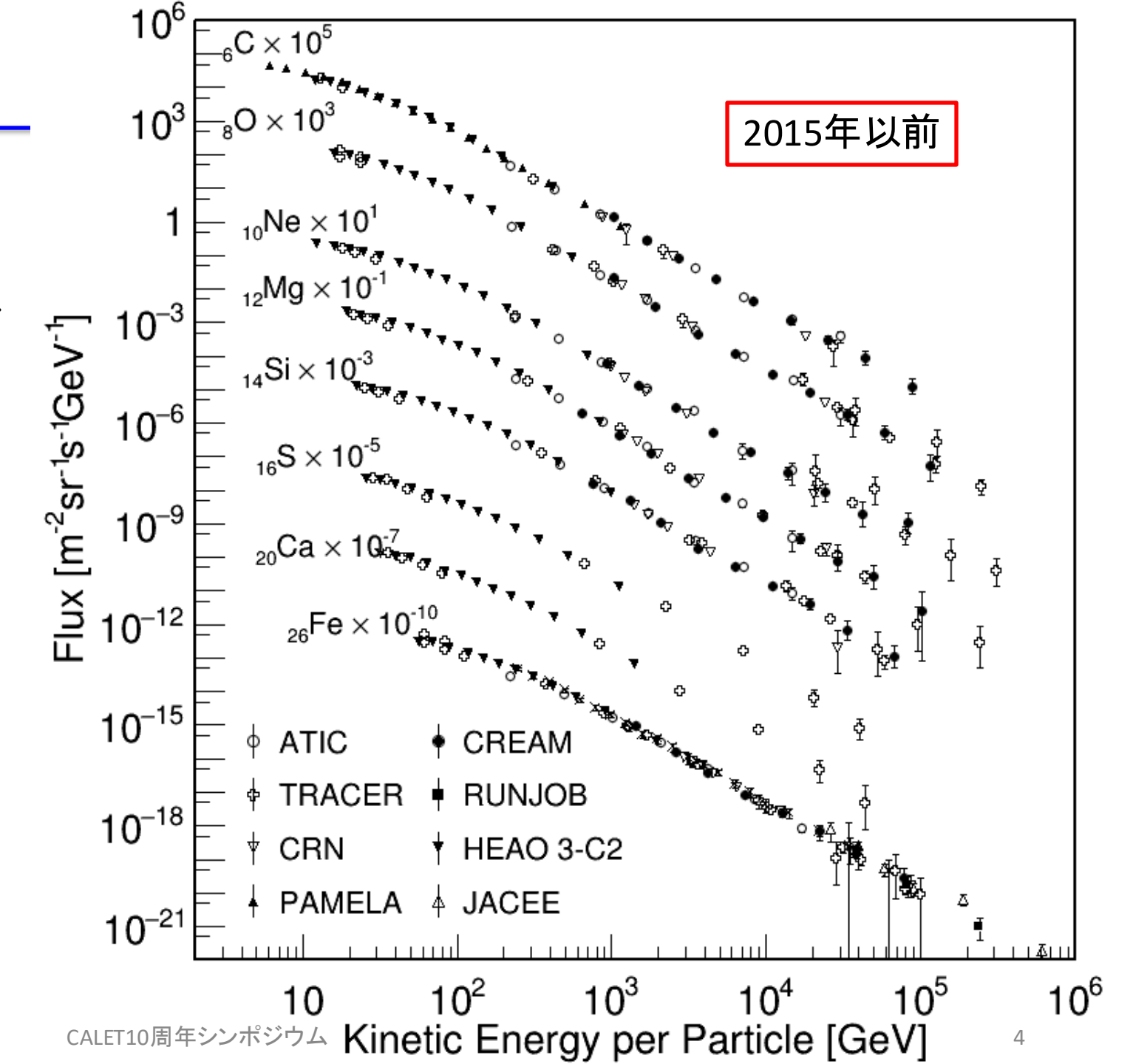
電荷Z=1-40の各原子核を識別 宇宙空間における直接観測だからこそ実現できる観測性能



エネルギースペクトル

CALETによる原子核の観測成果:

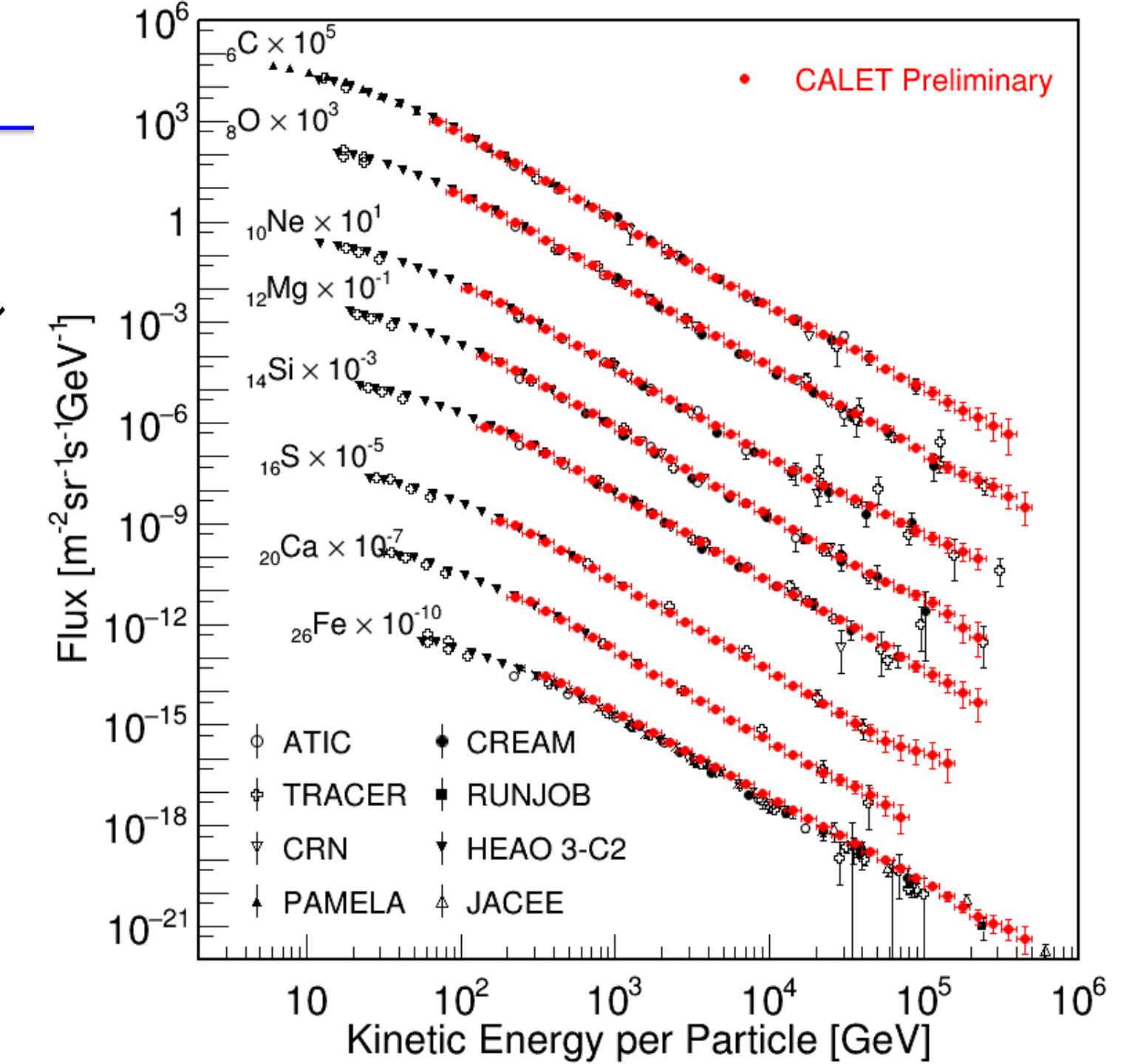
- ₆C, ₈Oのエネルギースペクトル Phys.Rev.Lett. **125**, 251102 (2020)
- ₂₆Feのエネルギースペクトル Phys.Rev.Lett. **126**, 241101 (2021)
- ₂₈Niのエネルギースペクトル Phys.Rev.Lett. **128**, 131103 (2022)
- B/Cの観測 Phys.Rev.Lett. **129**, 251103 (2022)
- subFe(Ti, Cr)/Fe の観測 Phys.Rev.Lett. **135**, 021002 (2025)
- 超重核(電荷Z≦44)の観測 Astrophys. J. **988**, 148 (2025)



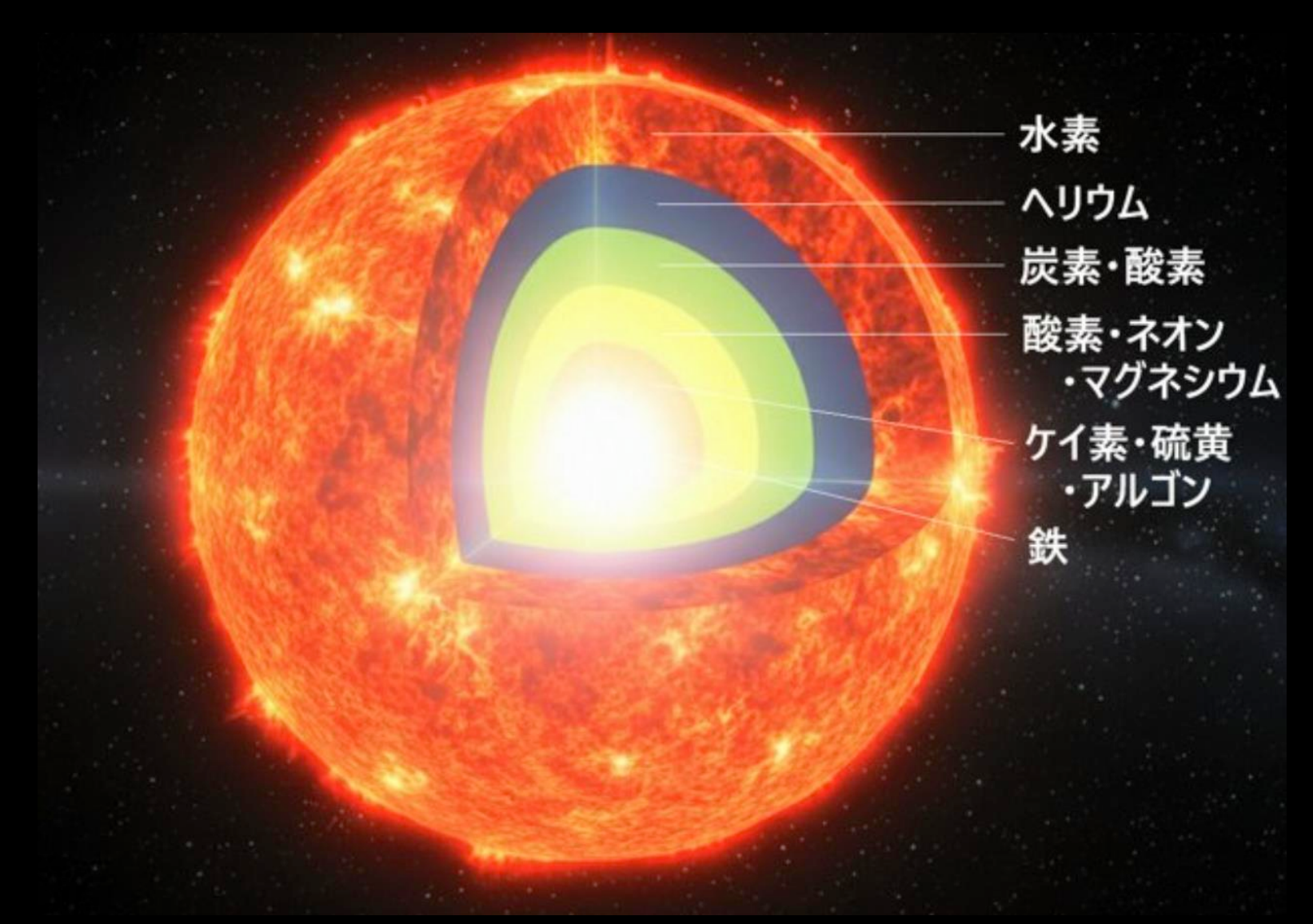
エネルギースペクトル

CALETによる原子核の観測成果:

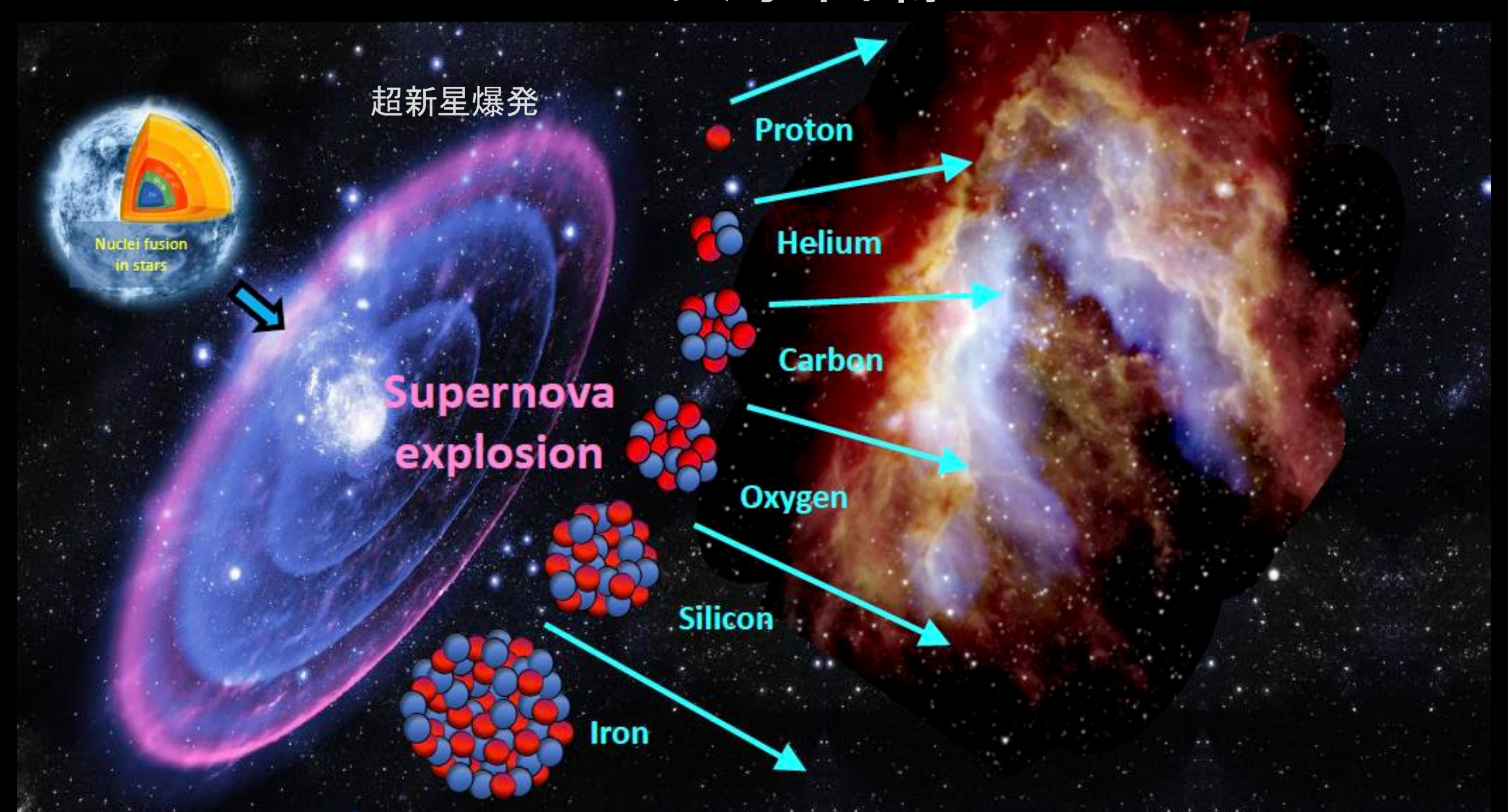
- ₆C, ₈Oのエネルギースペクトル Phys.Rev.Lett. **125**, 251102 (2020)
- ₂₆Feのエネルギースペクトル Phys.Rev.Lett. **126**, 241101 (2021)
- ₂₈Niのエネルギースペクトル Phys.Rev.Lett. **128**, 131103 (2022)
- B/Cの観測 Phys.Rev.Lett. **129**, 251103 (2022)
- subFe(Ti, Cr)/Fe の観測 Phys.Rev.Lett. **135**, 021002 (2025)
- 超重核(電荷Z≦44)の観測 Astrophys. J. **988**, 148 (2025)



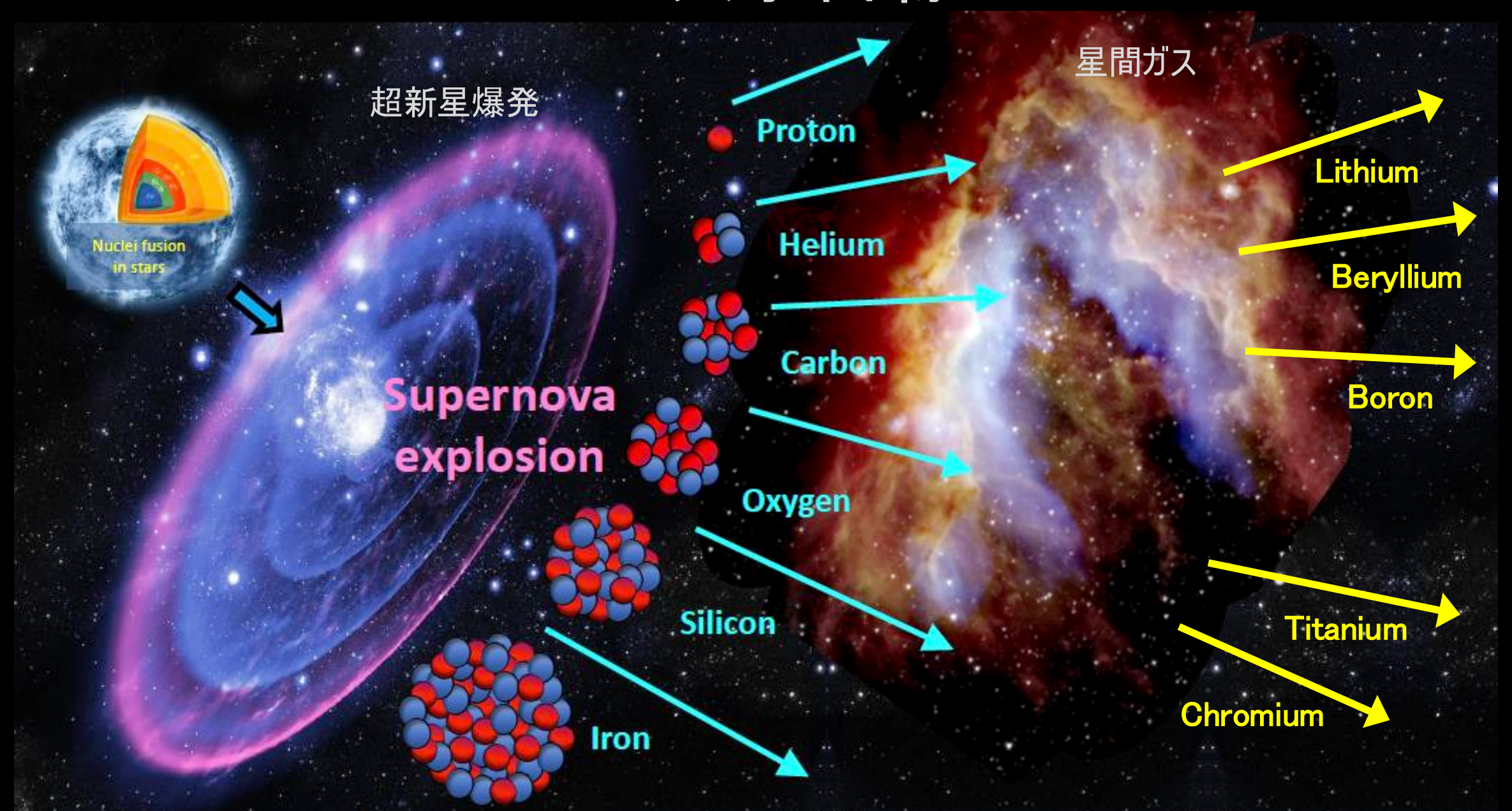
原子核の起源: 恒星内元素合成



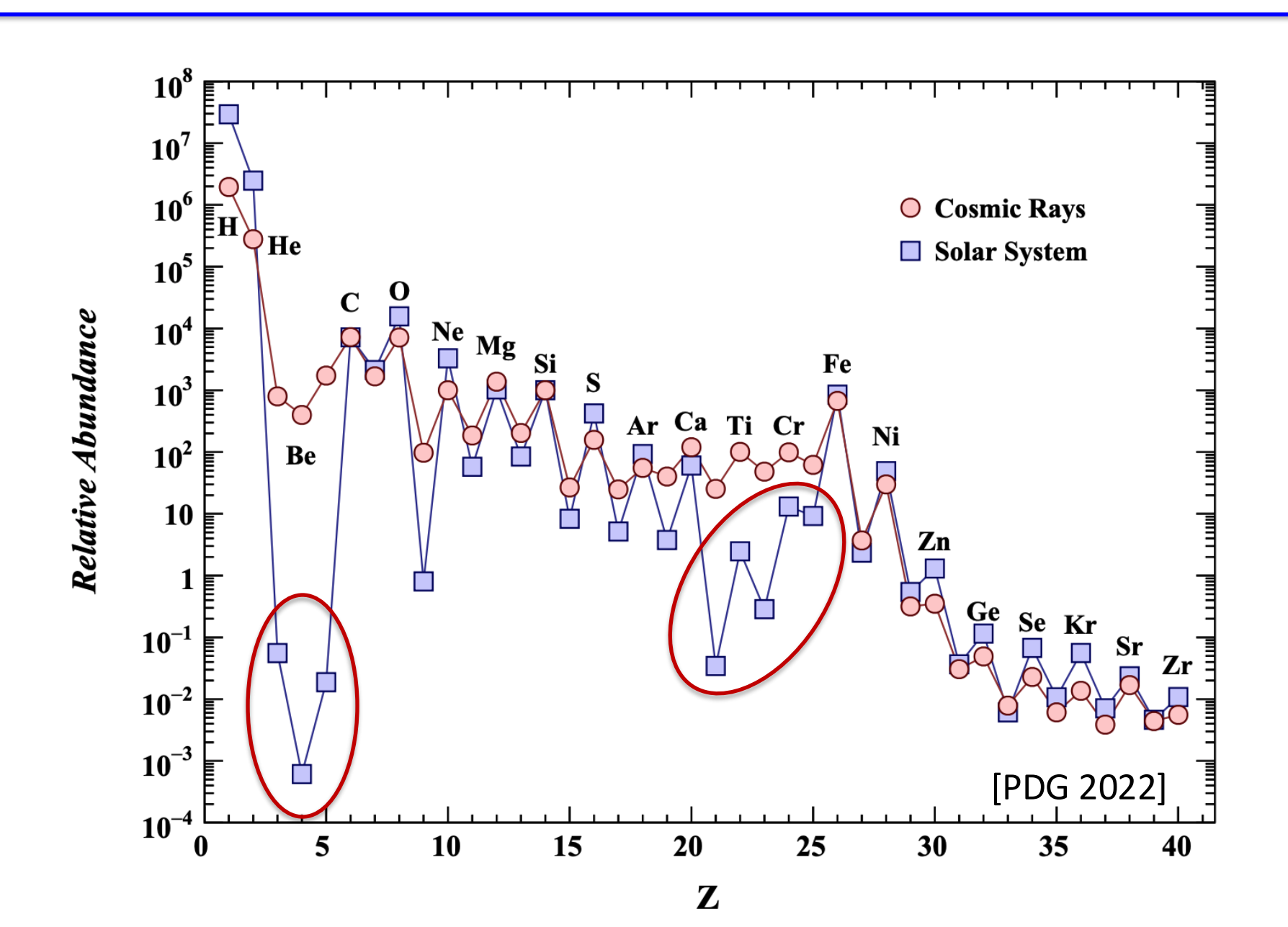
一次宇宙線



二次宇宙線



宇宙線の組成比



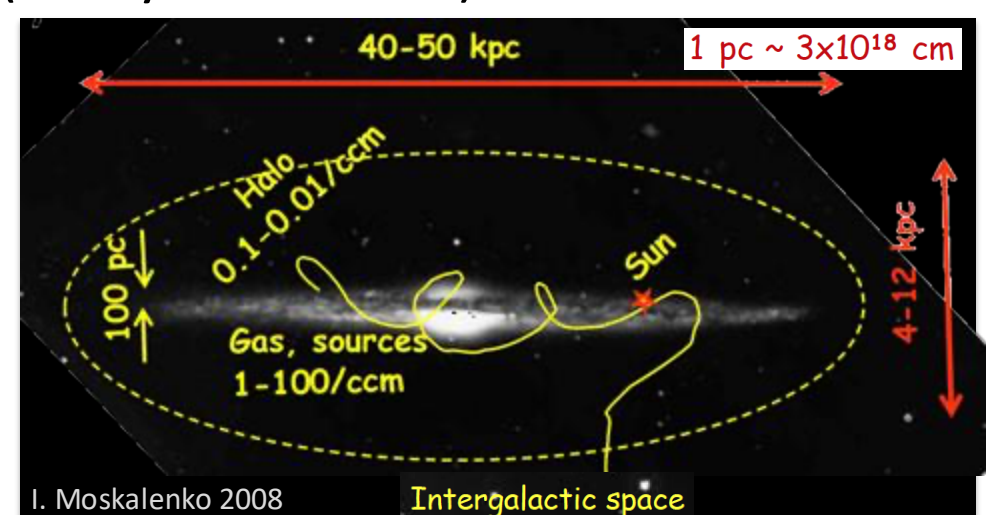
銀河宇宙線の加速・伝播の"標準モデル"

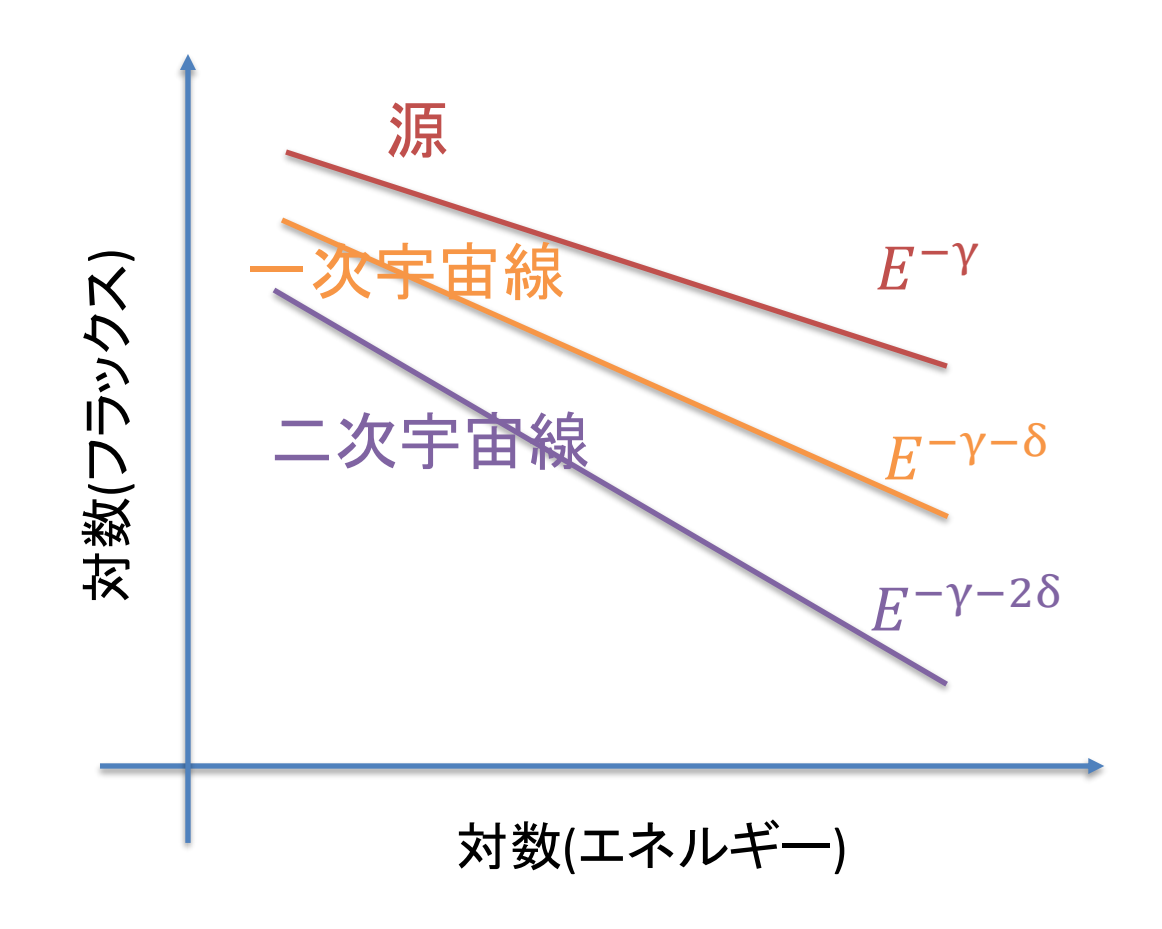
超新星残骸における衝撃波加速

- 冪型エネルギースペクトル: $\frac{\Delta N}{\Delta E} \propto E^{-\gamma}$
- 電荷に比例した加速限界: E_{max}~100 Z TeV

銀河磁場による拡散的伝播

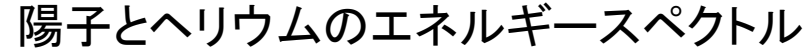
・銀河磁場からの漏れ出し効果: $\frac{\Delta N}{\Delta E} \propto E^{-\gamma - \delta}$ (Leaky Box Model)

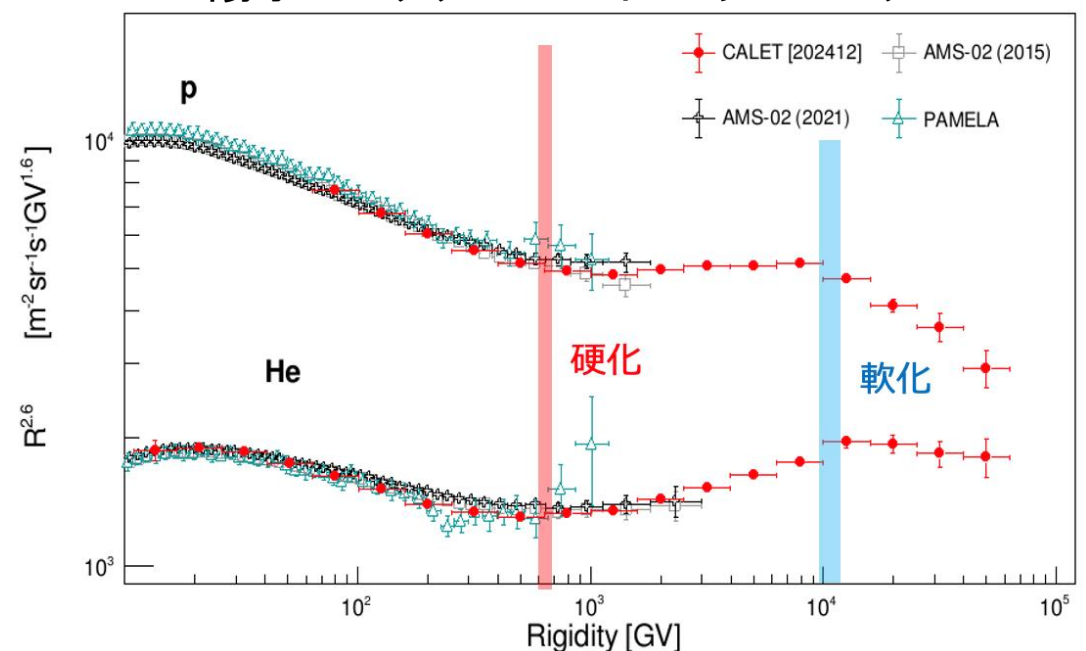




11

スペクトル硬化



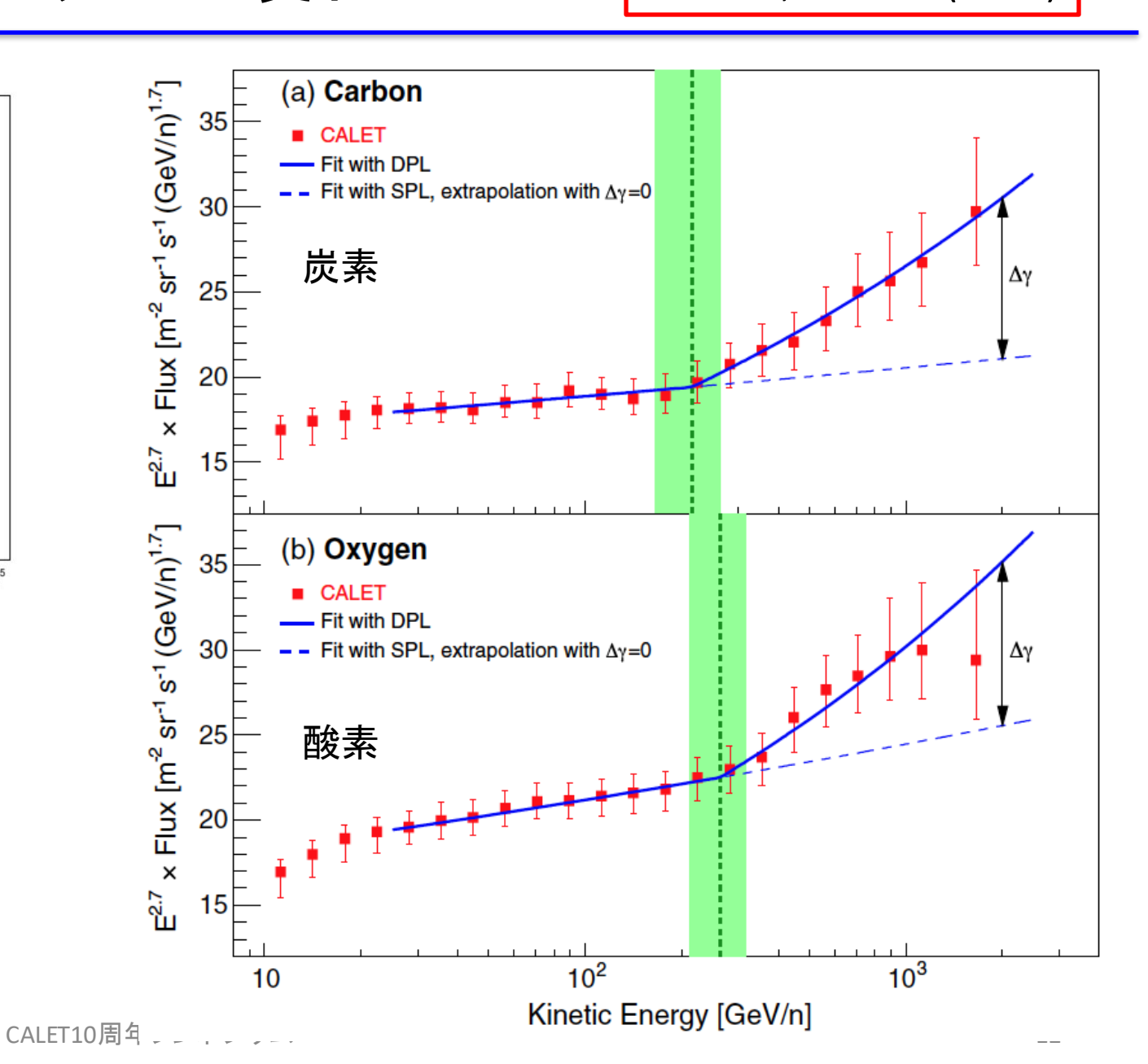


陽子・ヘリウムのスペクトル硬化は 原子核にも存在

スペクトル硬化の原因は、

加速? 伝播?

⇒二次宇宙線の測定

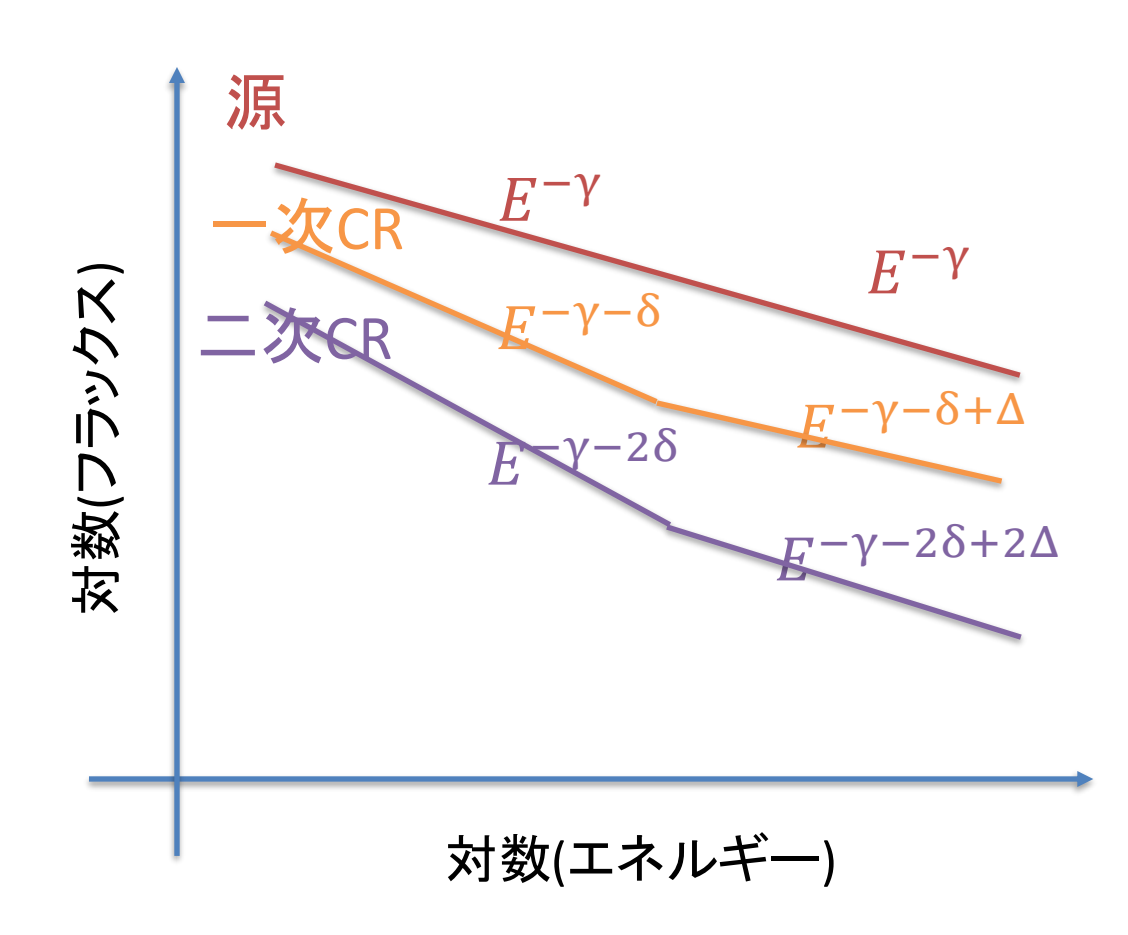


スペクトル硬化の原因: エネルギースペクトル

加速領域でスペクトルが硬化

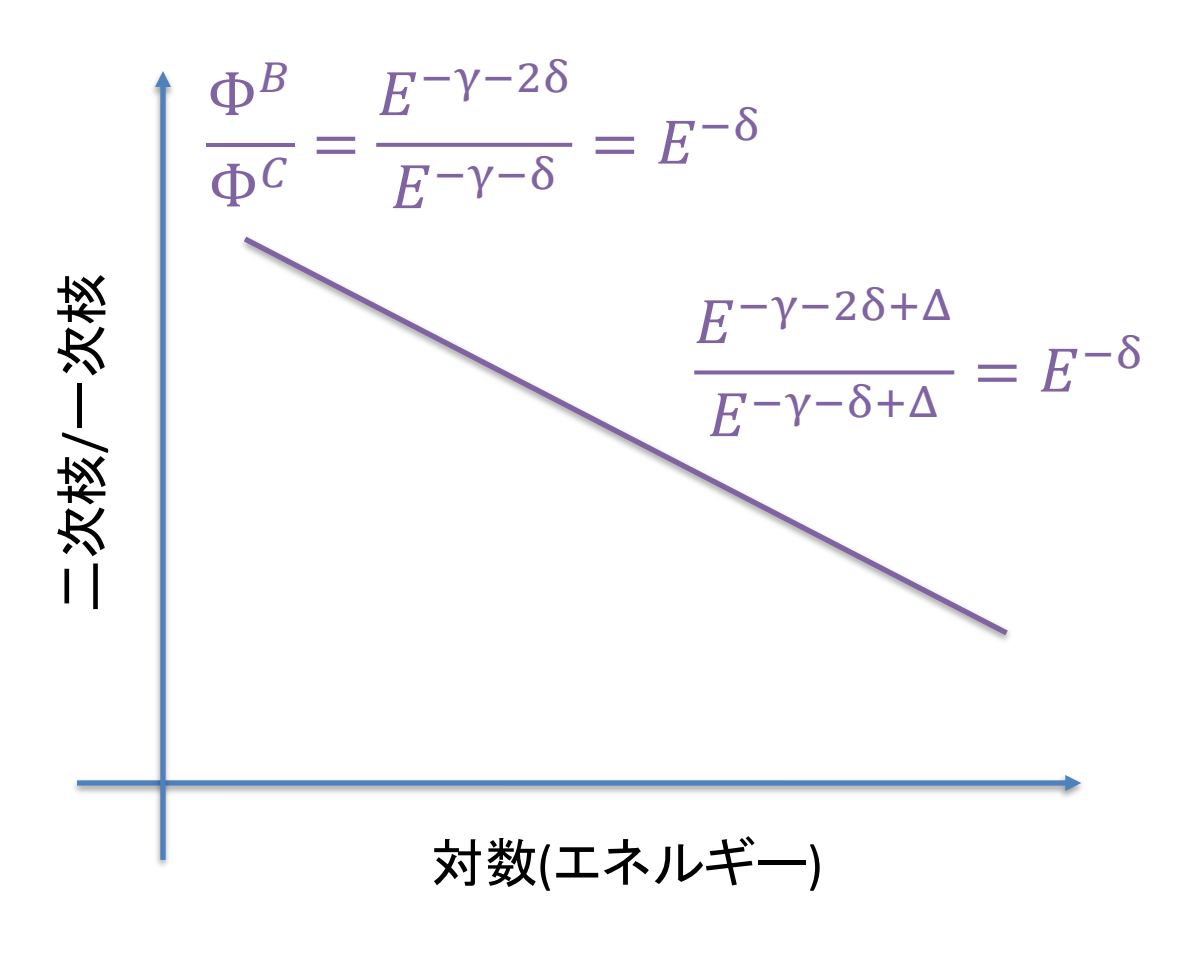
源 対数(フラックス) $\gamma - 2\delta + \Delta$ 対数(エネルギー)

伝播過程でスペクトルが硬化

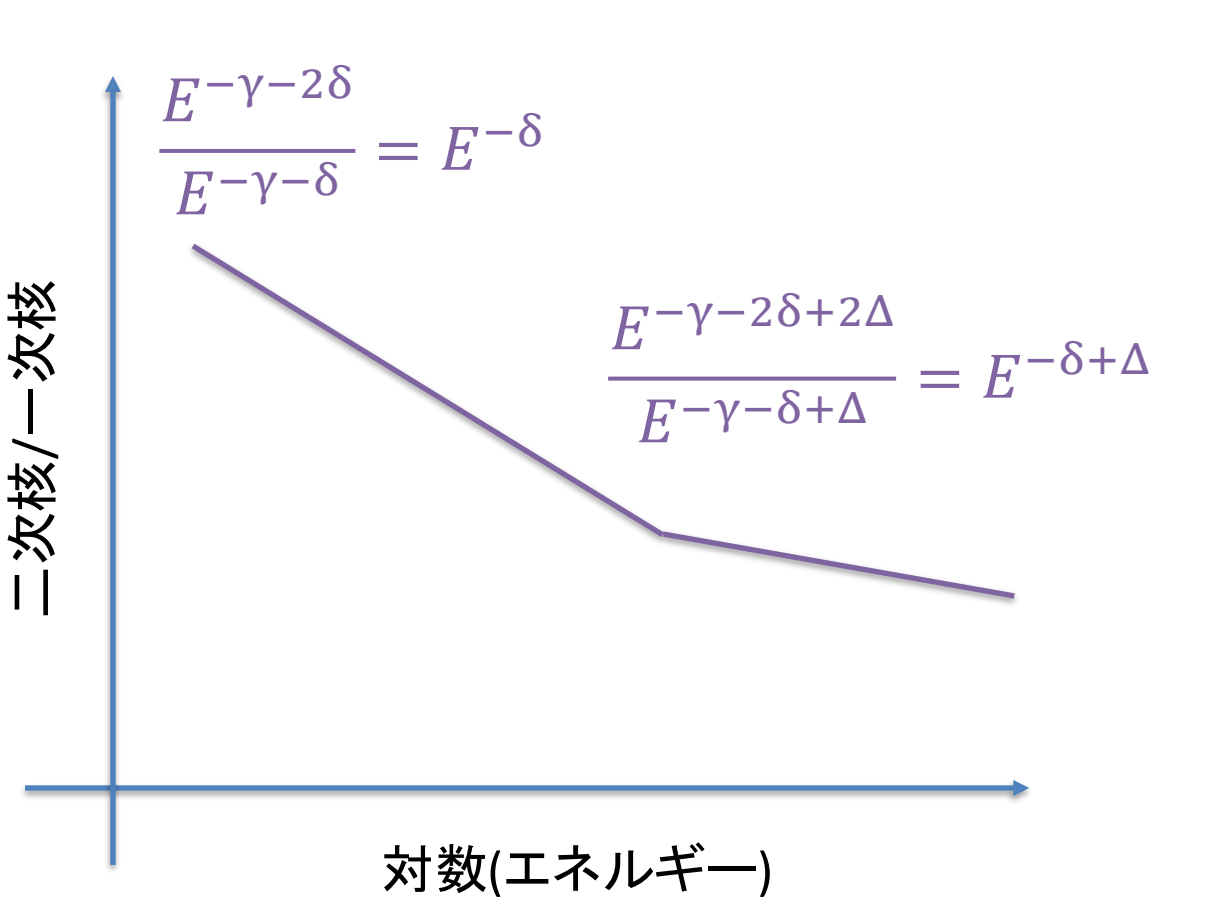


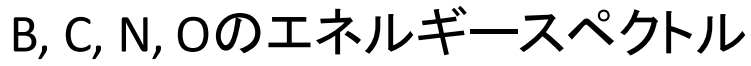
スペクトル硬化の原因: 二次核/一次核比 (B/C比など)

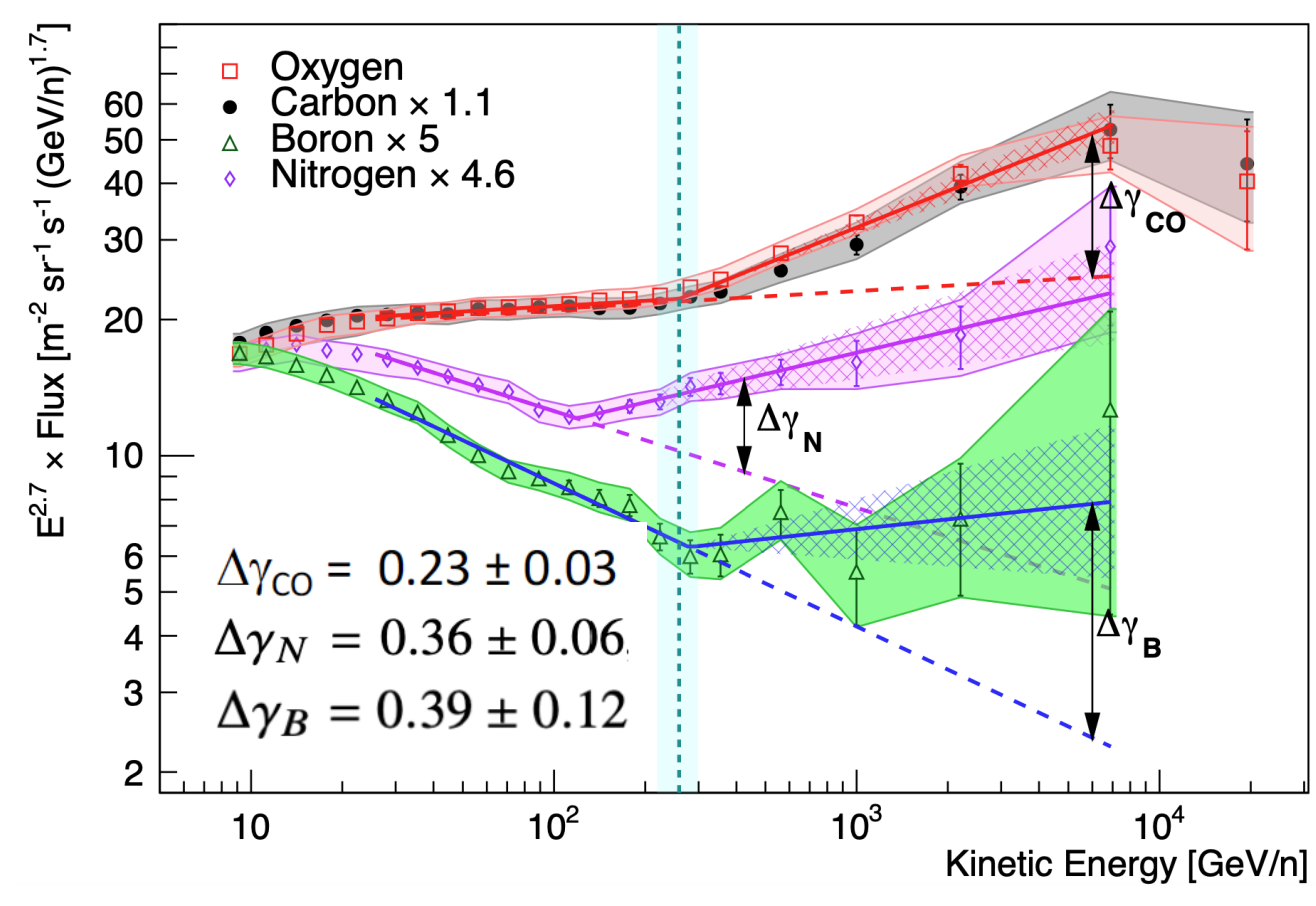
加速源でスペクトルが硬化



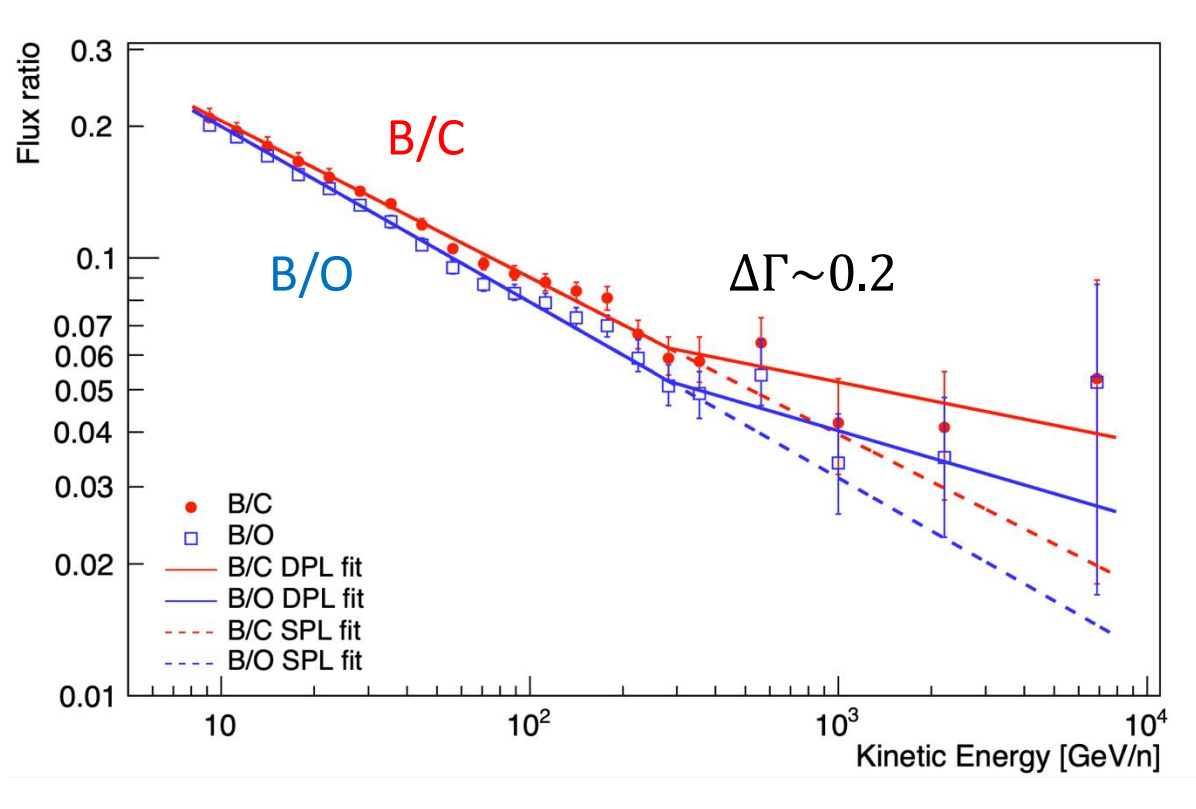
伝播過程でスペクトルが硬化







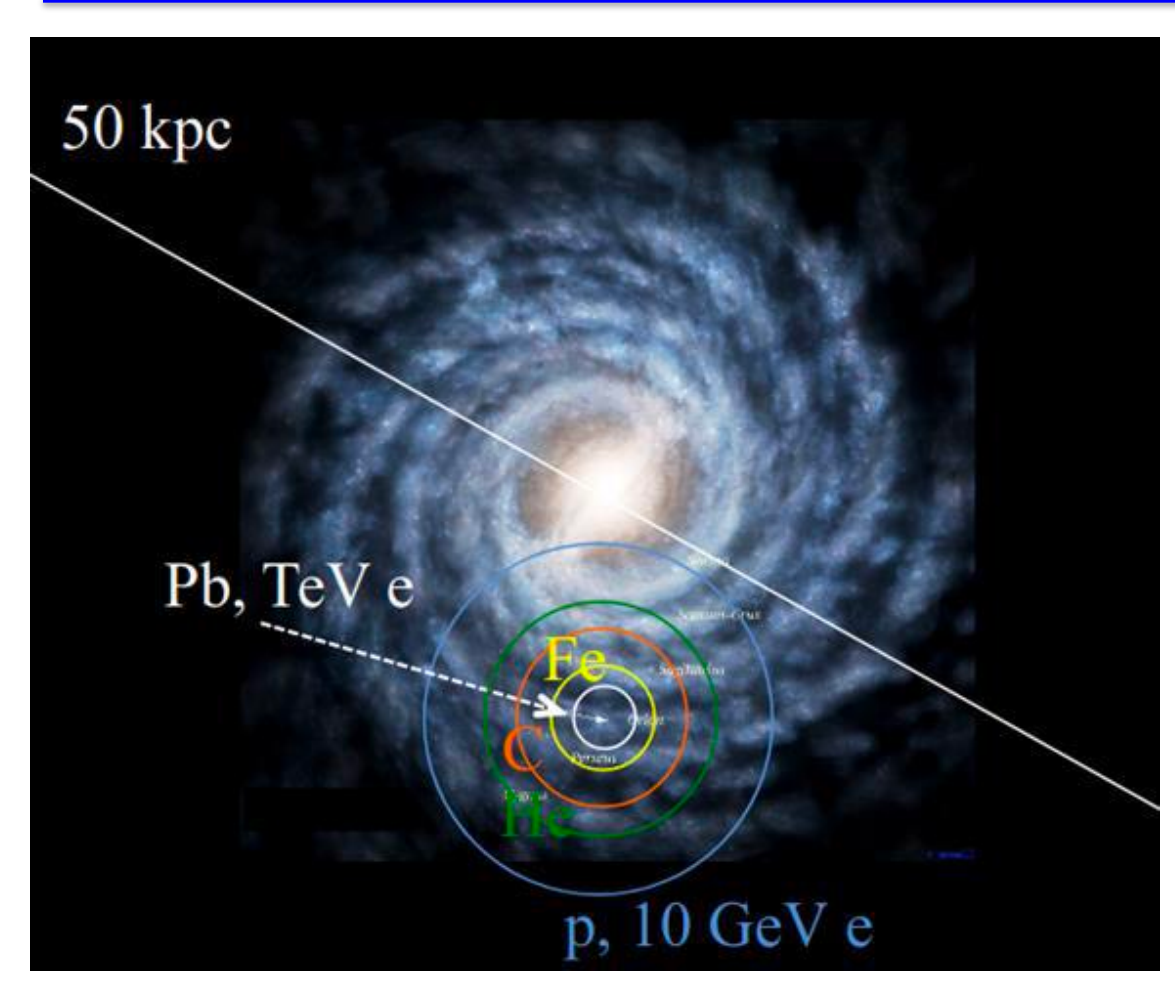
B/C, B/O のエネルギー依存性



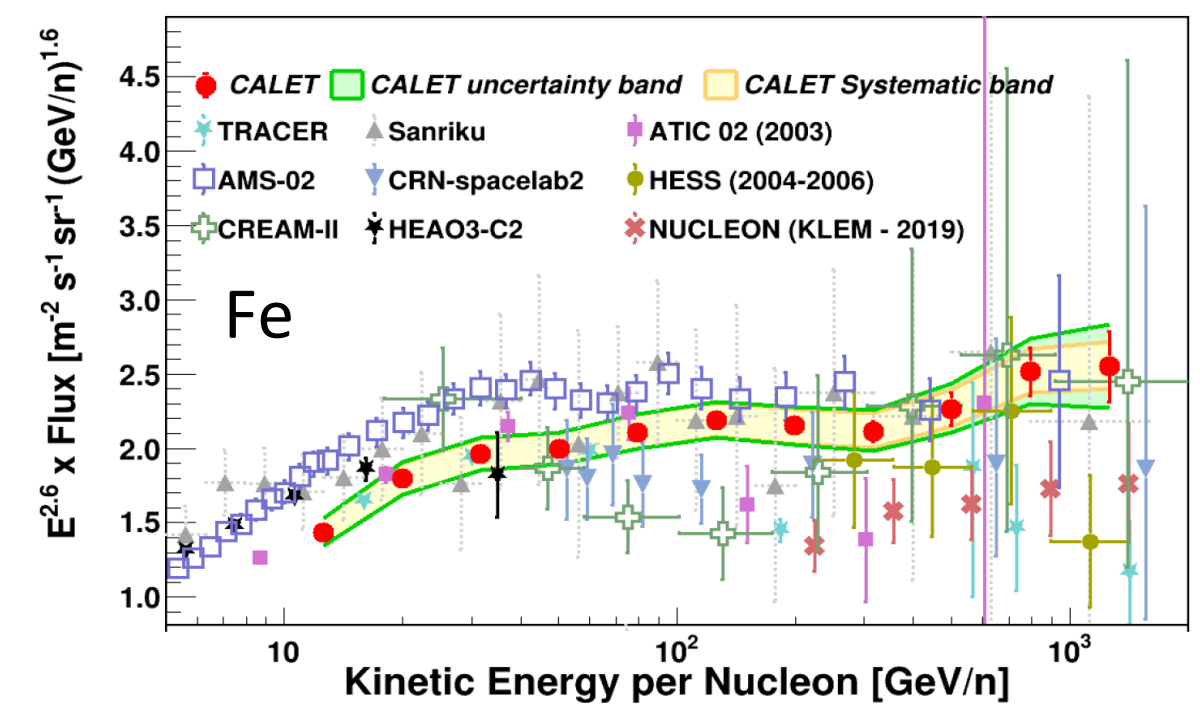
二次粒子(ホウ素: B) のスペクトル硬化は一次粒子(炭素・酸素: C, O)の約2倍 ⇒ スペクトル硬化は銀河内伝播過程に由来する可能性が高い

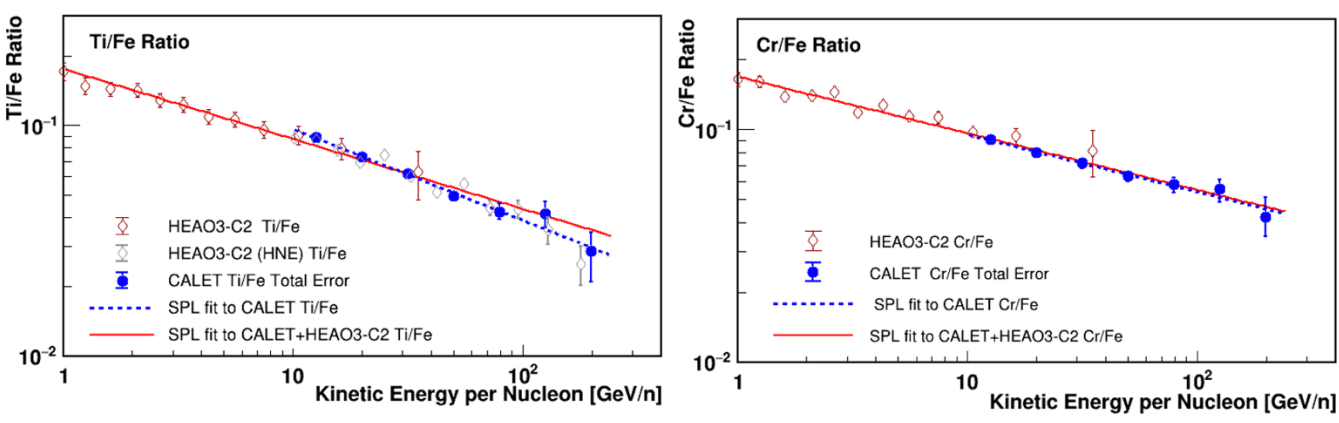
重原子核の観測: Fe, Sub-Fe(Ti,Cr)

PRL **135**, 021002 (2025)



Feは断面積が大きく平均自由行程が短いため、より地球近傍の伝播過程の理解に寄与可能





標準モデルの検証: 電荷に応じた加速限界

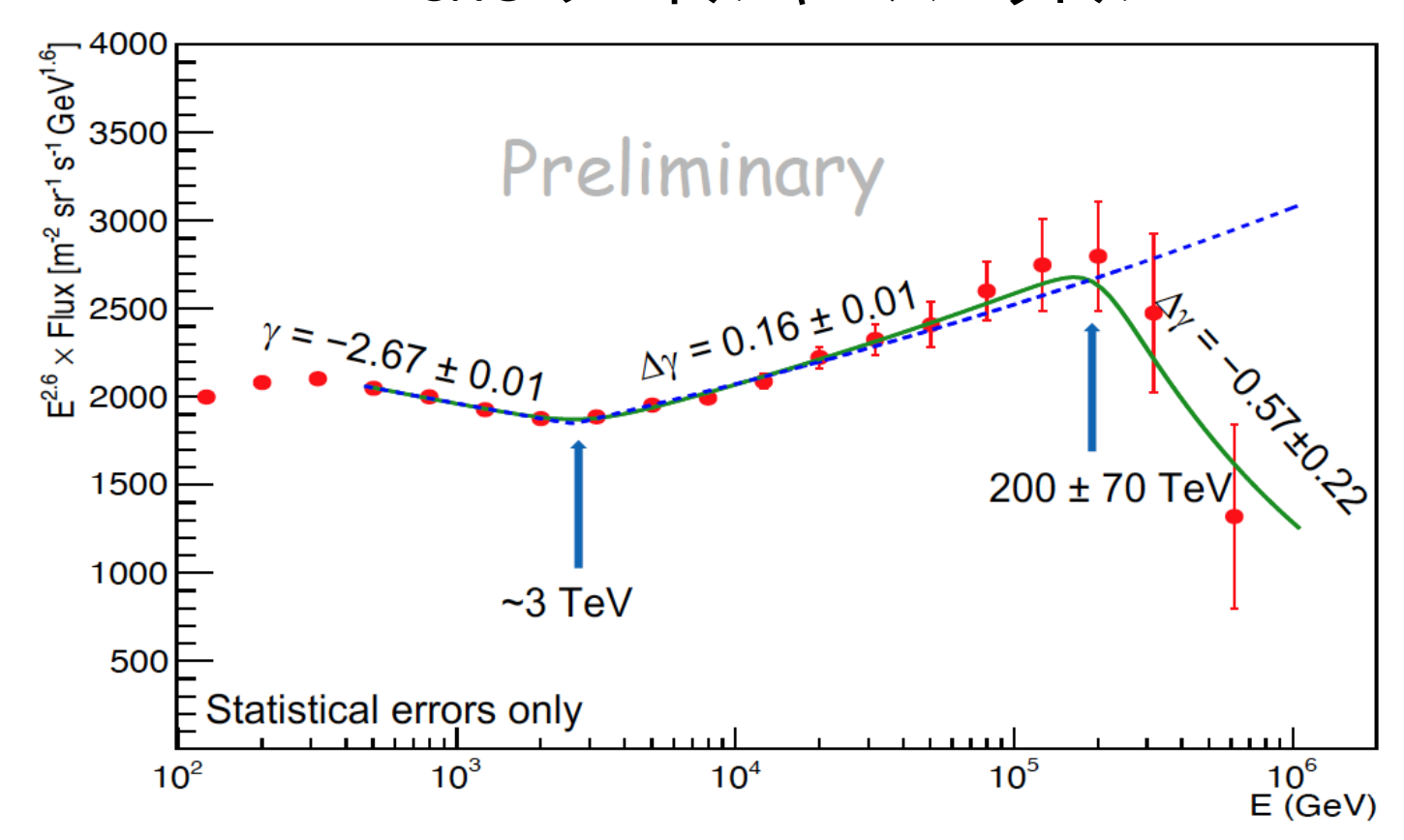
CNOのエネルギースペクトル

超新星残骸における衝撃波加速

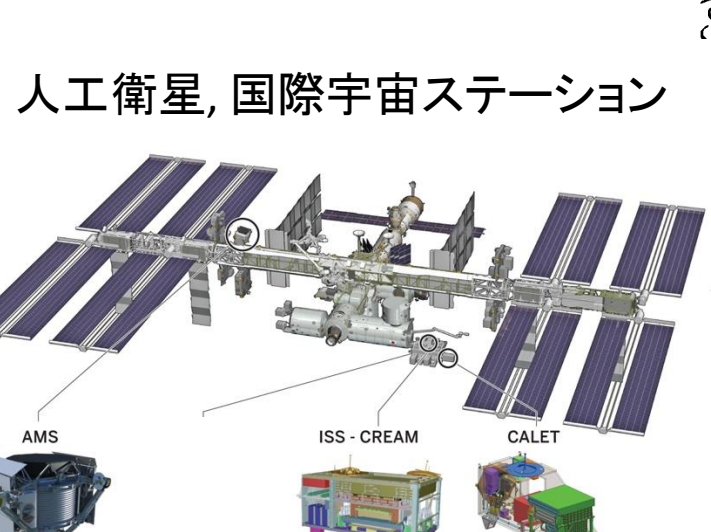
- 冪型のエネルギースペクトル: $\frac{\Delta N}{\Delta E} \propto E^{-\gamma}$
- 電荷に応じた加速限界: E_{max}~100 Z TeV

銀河磁場による拡散的伝播

• ・銀河磁場からの漏れ出し効果: $\frac{\Delta N}{\Delta E} \propto E^{-\gamma - \delta}$ (Leaky Box Model)

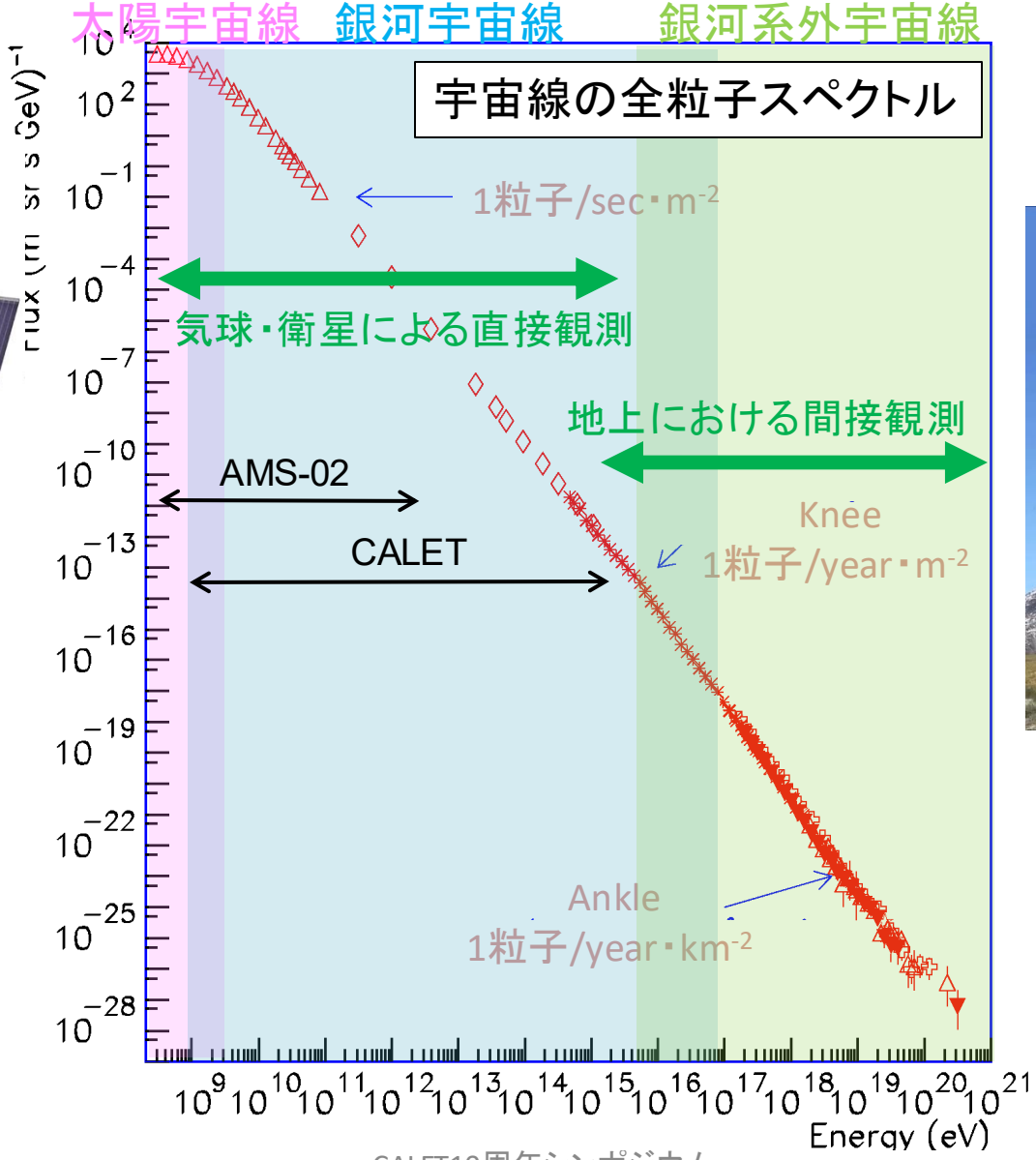


地上間接観測への接続

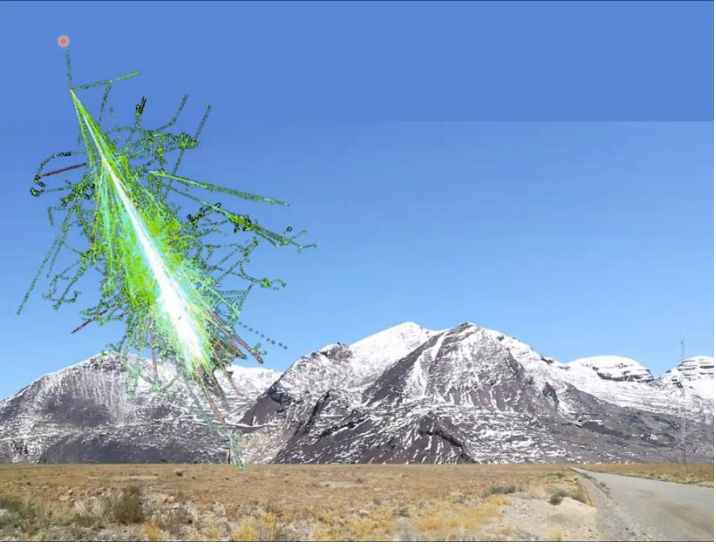


- 元素組成が測定可能
- ・検出器の大きさに制限

To be launched in 2016 Launching August 2015



空気シャワーを利用する地上観測

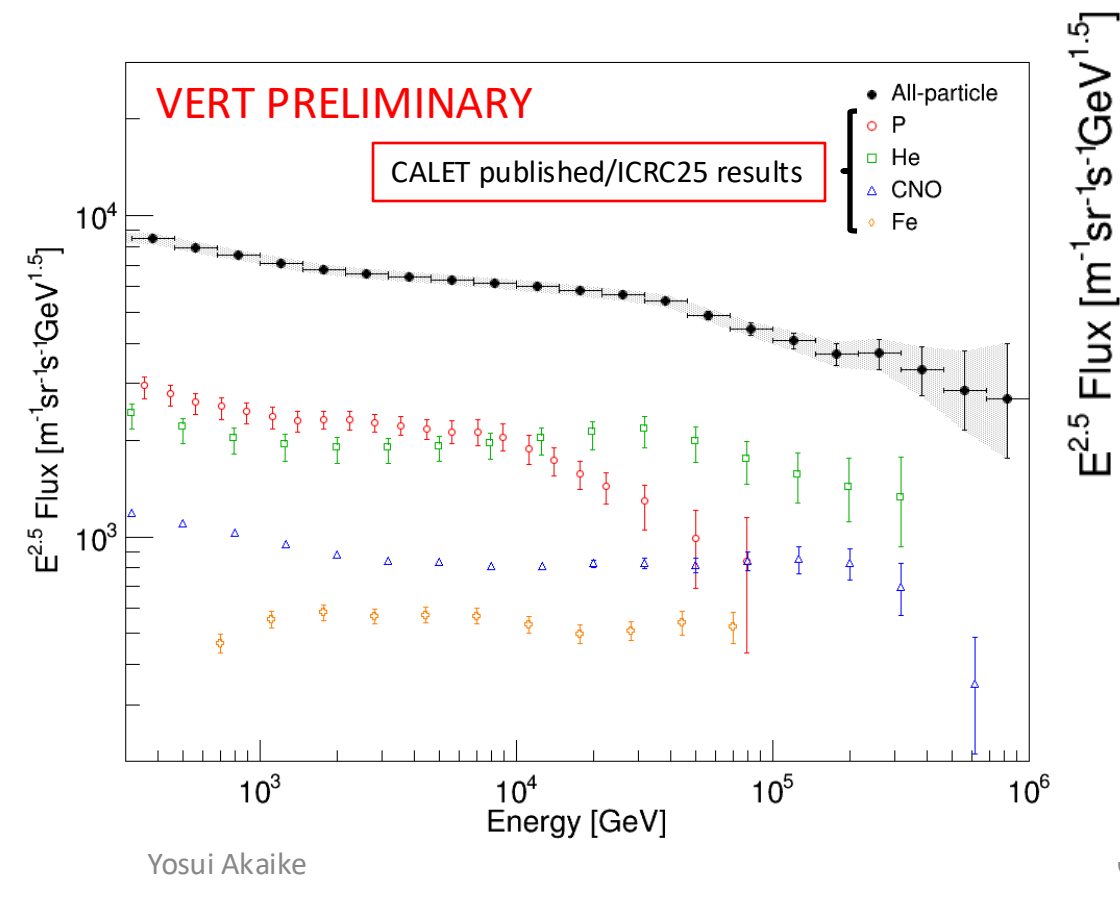


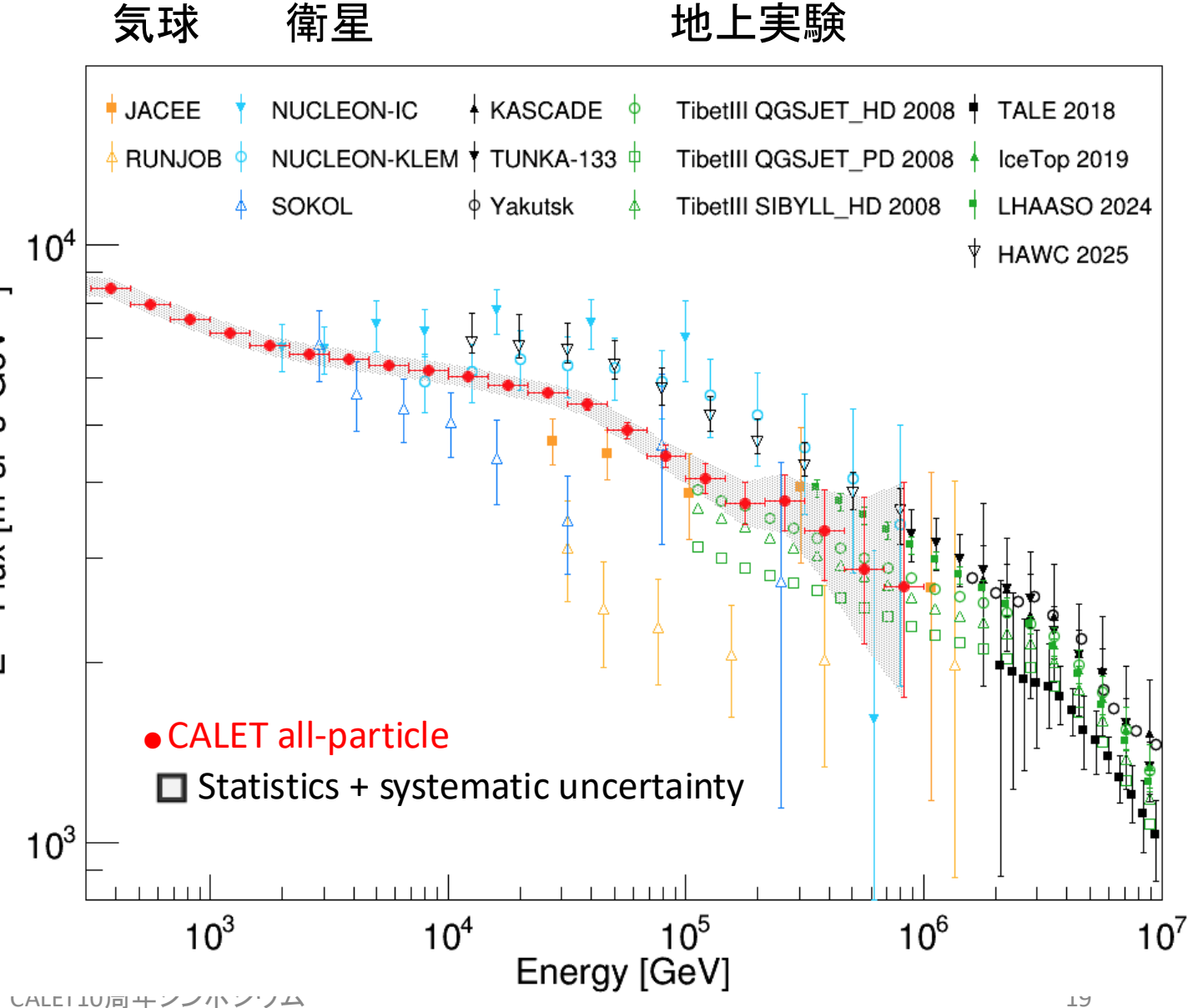
- 大きな検出面積
- ・元素組成の精密測定は難しい

CALETによる全粒子スペクトル

CALETの測定領域は、 1PeV(10¹⁵ eV)に到達

⇒地上間接観測へ接続





まとめ

- 地球で観測される宇宙線は、加速と伝播が複雑に絡み合った結果であり、 各原子核を測定することで、加速と伝播を切り分けて理解することが可能
- CALETは、個々の元素のエネルギースペクトルを測定することが可能な直接観測実験
- CALETのこれまでの観測により、銀河宇宙線の加速・伝播に関する標準モデルの検証を可能にし、さらに標準モデルを超える観測結果から、理論モデルに制約を与えることが可能
- CALETの幅広いエネルギー領域の観測は、地上の間接観測へ接続可能